

モデル反応系における不連続転移：ヒステリシスを伴わない場合

Discontinuous transitions in a model chemical reaction system: the case without hysteresis

森 田 真*・岩 元 和 敏*・妹 尾 学*

Makoto MORITA, Kazutoshi IWAMOTO and Manabu SENO

1. は じ め に

カオス振動を示す系の振動間の転移には、いろいろなタイプがあることを示してきた¹⁻³⁾。とくに前報³⁾で不連続転移の例を示したが、さらに異なるタイプの不連続転移について報告する。これはヒステリシス現象を示さないところが特徴的である。

2. 不 連 続 転 移

前報で、振動状態を $F = (\text{一周期中の大きな振幅の振動の数}) / (\text{一周期中の振動の総数})$ なる値を用いて表現すると、パラメーター P との間に階段状構造が生じることを示した (図 1, Ref. 2)。その図における $\pi(\infty)$ から複合振動へと転移が起こる領域を詳しく調べると、図 1 のような階段状構造が現れた。すなわち複合振動 $\pi(n, n \geq 7)$ と $\pi(\infty)$ は共存しており、二重周期性を示す。なお $\pi(\infty)$ は小さな振幅のみの振動であり、 $F = 0$ である。 $n > 12$ の振動の存在は確認できなかった。図 2 に $P = 1.093$ の場合の二つの振動の軌道を 3 次元空間に示した。二つの振動の軌道は交差しないが、ごく近傍を通過している。

興味深いことは、 $n \geq 7$ では二つの隣り合う複合振動 $\pi(n)$ と $\pi(n+1)$ の間に結合複合振動もカオス振動も出現せず、 $\pi(\infty)$ のみが現れることである。結合複合振動およびカオス振動では、図 2 における $\pi(n)$ の軌道が広がり $\pi(\infty)$ と交差し、その結果相対的により安定な軌道へ落ち込むためであろう。 $n \geq 7$ では $\pi(\infty)$ がより安定な軌道であり、二つの階段の間に結合複合振動、カオス振動が存在しないと結論できよう。軌道が広がる様子を図 3 に示した。 $\pi(8)$ の振幅の変化に注目してみよう。 P が大きくなり $P = 1.102$ に近づくと、 $\pi(8)$ が不安定となり倍周期分岐が起こる。倍周期分岐により軌道が広がり、 $\pi(\infty)$ と接触すると直ちに $\pi(8)$ から分岐した振動は消滅し、 $\pi(\infty)$ のみとなる。 $\pi(8)$ において P を小さい方向

へ変化したときも同様である。倍周期分岐による軌道が急激に広がり、直ちに $\pi(\infty)$ へと転移していく。図 4 に転移点近傍の挙動を示した。 $\pi(8)$ の 2 周期振動の振幅が急激に広がり、 $\pi(\infty)$ へと転移していく。

一方、 $\pi(6)$ と $\pi(7)$ の間には結合複合振動およびカオス振動が現れ、 $\pi(\infty)$ は現れない。図 3 (b) に示すように P を大きい方向に変化させながら $\pi(\infty)$ の挙動を調べると、 P_0 を越える点で $\pi(\infty)$ は不安定となり、倍周期分岐が起こる。そして倍周期分岐により広がった軌道が $\pi(7)$ とぶつかると $\pi(\infty)$ の振動は消滅する。図 3 は、 $\pi(\infty)$ と $\pi(7)$ との間の二重周期性を示すために、 P の変化の方向を変えて求めた分岐構造図である。この二つの振動の間にはヒステリシス関係がある。

図 3 には $\pi(8)$ も示した。 $\pi(8)$ も $\pi(\infty)$ と二重周期性を示している。しかし、この場合にはヒステリシス関係

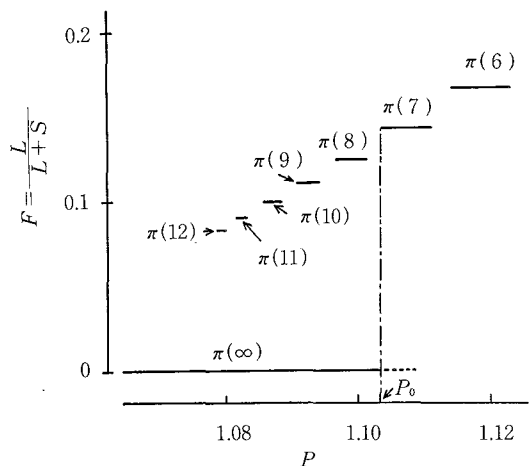


図 1 複合振動 $\pi(n)$ の現れる臨界点近傍の階段状構造。 $\pi(12)$ まで見いだすことができた。 $\pi(\infty)$ は小さな振幅の振動を示す。 $P_0 = 1.1036\cdots$ であり、点線部分は $\pi(\infty)$ の倍周期分岐が起こる領域である

*東京大学生産技術研究所 第 4 部

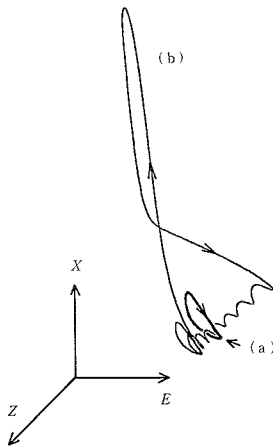
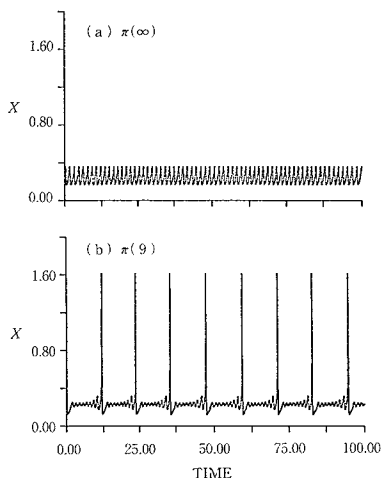


図2 $P=1.093$ における $\pi(\infty)$ と $\pi(9)$, およびそれらの3次元空間における挙動

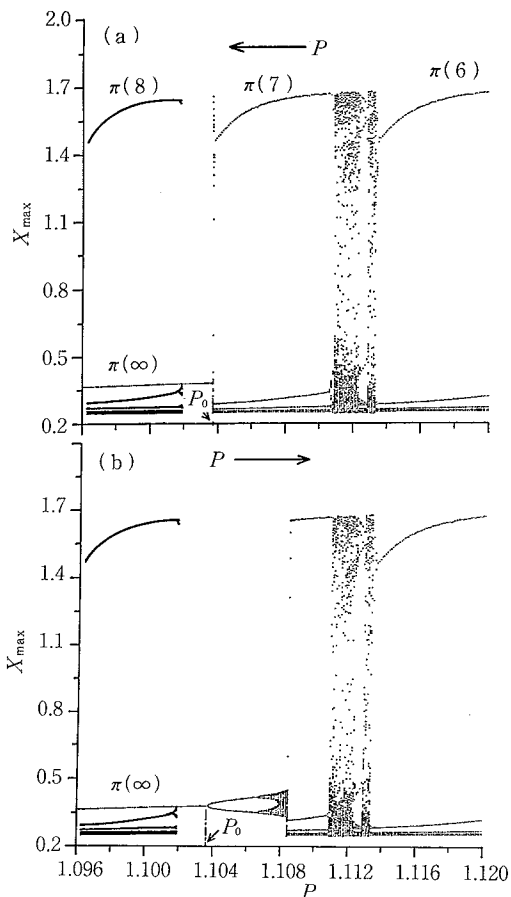


図3 $\pi(6)$, $\pi(7)$, $\pi(8)$ 出現領域の分岐構造.
(a), (b)では P の変化方向が異なる。 P_0 は図1と同じである

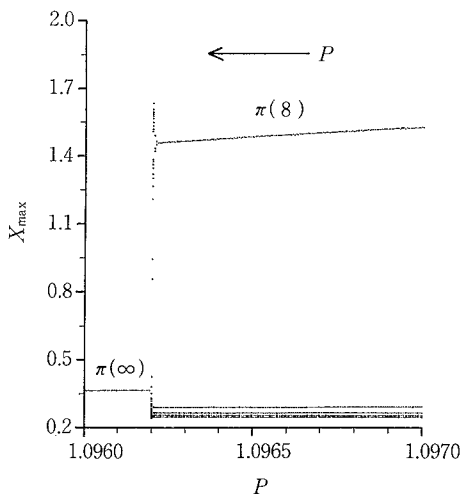


図4 P を小さくしていくときの $\pi(8)$ から $\pi(\infty)$ への転移挙動。 $\pi(8)$ の2周期振動の振幅が急激に大きくなっている

はない。 $\pi(8)$ を出発点として P を変化していくと $\pi(\infty)$ へ落ち込む。しかし、 $\pi(\infty)$ を出発点とすると、 $\pi(8)$ へ行くことができない。外部からの大きな摂動が加わる必要がある。また、二つの状態間をつなぐ不安定な状態も隠れていないようである。この意味で、前報³⁾で示したヒステリシスを伴う不連続転移とは本質的に異なる。

$n \geq 7$ において $\pi(n)$ と $\pi(n+1)$ の間には結合複合振動もカオス振動も現れず、 $\pi(\infty)$ のみが安定な状態であることを示したが、このときの $\pi(\infty)$ への緩和過程を調べた。図5は、初期値として $(X_0, E_0, Z_0) = (X_0,$

研 究 速 報

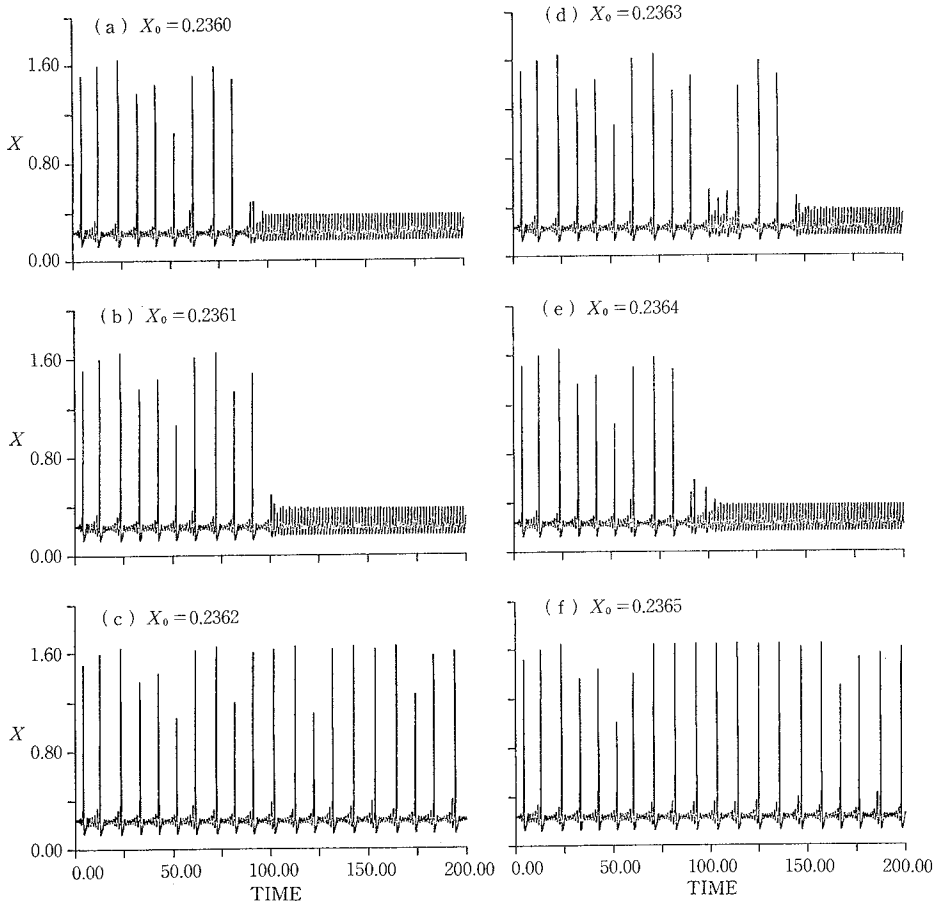


図5 $P=1.103$ における緩和過程
初期値として X_0 値のみを変化させた。(c), (f)では $\pi(\infty)$ になるまでの時間は200を越える

0.9900, 1.0600)を選び、 $\pi(\infty)$ へ緩和過程を調べた結果である。 $P=1.103$ にとった。 X_0 のわずかな変化により、緩和時間が不規則に変化するが、これは緩和過程においてカオス振動の軌道を通過するためである。カオス振動は典型的にはパイこね変換に従う力学系⁴⁾の挙動として説明されるが、パイこね変換では初期値のわずかなズレが拡大され、初期における記憶が消滅する。この特徴が緩和時間の不確定さとして観察されていると考えられる。

(1988年8月15日受理)

参 考 文 献

- 1) 森田真, 岩元和敏, 妹尾学, 生産研究, 40, 334(1988).
- 2) 森田真, 岩元和敏, 妹尾学, 生産研究, 40, 392(1988).
- 3) 森田真, 岩元和敏, 妹尾学, 生産研究, 40, 555(1988).
- 4) 山口昌也, “カオスとフラクタル—非線形の不思議” 講談社, (1986).